

مقاله علمی-پژوهشی

پیش‌بینی اثرات تغییر اقلیم بر پارامترهای هواشناسی طبق برونداد مدل‌های GCM به کمک شبکه عصبی مصنوعی (مطالعه موردی: ایستگاه سینوپتیک شیراز)

نیلوفر رحیمی^۱، محمدامین مداد^{۲*}، علی‌محمد آخوندعلی^۳

تاریخ دریافت: ۱۴۰۱/۰۵/۱۹ تاریخ پذیرش: ۱۴۰۱/۰۶/۲۷

چکیده

با توسعه فناوری و صنعتی شدن جوامع بشری، افزایش گازهای گلخانه‌ای بروز تغییرات آب و هوایی در سطح زمین و اثرات زیان‌بار آن (سیل و خشکسالی) بر زندگی بشر و منابع محروم گشته است. کسب اطلاعات از اثر محتمل تغییر اقلیم بر پارامترهای هواشناسی از اهمیت و ضرورت خاص برخوردار است. در این مطالعه سعی بر آن شد که به شیوه جامع با استفاده از ارزیابی مدل‌های گردش عمومی جو (۱۲ مدل) و ریزمقیاس‌نمایی برونداد آنها (با کمک شبکه عصبی پرسپترون چندلایه) اثر محتمل تغییرات اقلیم بر پارامترهای هواشناسی شهر شیراز مشخص شود. نتایج ارزیابی‌ها (MSE، RMSE و R) در دوره پایه ۱۹۸۶-۲۰۰۵ و ۲۰۰۵-۲۰۲۶ نشان دهنده کاهش بارش (بهترتب ۱۱-۱۹ و ۲۰-۲۶ و ۲۰-۴۶ و ۲۰-۴۵ و ۲۰-۶۵ و ۲۰-۰۴۶) و افزایش دمای کمینه (۰/۴-۰/۰ و ۰/۷-۰/۰ درجه سلسیوس)، افزایش دمای بیشینه (۰/۵-۰/۰ و ۰/۸-۰/۹ درجه سلسیوس) افزایش میزان تابش خورشیدی (۰/۷-۰/۶ و ۰/۱-۰/۱ کیلووات ساعت بر مترمربع در روز) و پیش‌بینی‌های HadGEM2CC نشان دهنده کاهش بارش (بهترتب ۷-۱۶ و ۳-۵ و ۱۶-۳ درصد)، افزایش دمای کمینه (۰/۹-۰/۰ و ۰/۱-۰/۷ درجه سلسیوس)، افزایش دمای بیشینه (۰/۱-۰/۰ و ۰/۹-۰/۸ درجه سلسیوس) و افزایش میزان تابش خورشیدی (۰/۸-۰/۳ و ۰/۳-۰/۸ کیلووات ساعت بر مترمربع در روز) خواهدبود.

واژه‌های کلیدی:

اقلیم شیراز، پرسپترون، ریزمقیاس‌نمایی، CanESM2، Hadgem2cc

گرم شدن دمای زمین مشخص می‌شود) به یکی از مخرب‌ترین بحران‌های محیط‌زیستی و مانع در توسعه پایدار جهانی (فعالیت‌های اجتماعی و اقتصادی) بدل گشته است (IPCC، 2018). سازگاری و مدیریت شرایط اقلیم پیش رو تابع شناخت نسبی و کسب اطلاعات بیشتر از میزان و جهت همین تغییرات است. یکی از پیامدهای تغییر اقلیم را می‌توان افزایش بارش‌های رگباری مسبب سیل، مانند آنچه که در سال ۱۳۹۸ در شهر شیراز باعث خسارت‌های زیان‌بار مالی و جانی گشت، دانست (زارعی و همکاران، ۱۳۹۸). به نظر می‌رسد تغییر اقلیم پیامدهای جدی در شهرهایی با تیپ اقلیمی آسیب‌پذیرتر (بارندگی غالب در فصل سرد) مثل شیراز به دنبال داشته که شناسایی و پیش‌بینی این پیامدها می‌تواند زمینه مقابله با چالش‌های پیش رو را مهیا کرده و برنامه‌ریزان را در راستای برنامه‌ریزی استراتژیک کمک نماید.

امروزه توسط محققین اقلیم‌شناسی و علوم مرتبط، روش‌های گوناگونی مثل مدل‌های داینامیک جو (Chim et al., 2020) و مدل

مقدمه

استفاده روزافرون از سوخت‌های فسیلی، تولید آلاینده‌ها و انتشار گازهای گلخانه‌ای را می‌توان مسبب افزایش دمای کره‌زمین و تغییر اقلیم جهانی دانست که موافق توافق کلی بین دانشمندان در سراسر جهان درخصوص موضوع تغییرات آب و هوا در گذشته، حال و آدمه آن در آینده است، اگر چه میزان و جهت تغییر بسیار نامشخص است (Libanda et al., 2019). امروزه تغییرات اقلیمی (که با

- ۱- دانشجویی کارشناسی ارشد، گروه هیدرولوژی و منابع آب، دانشکده مهندسی آب و محیط زیست، دانشگاه شهید چمران اهواز، اهواز، ایران
 - ۲- استادیار، گروه هیدرولوژی و منابع آب، دانشکده مهندسی آب و محیط زیست، دانشگاه شهید چمران اهواز، اهواز، ایران
 - ۳- استاد، گروه هیدرولوژی و منابع آب، دانشکده مهندسی آب و محیط زیست، دانشگاه شهید چمران اهواز، اهواز، ایران
- (Email: Ma.maddah@scu.ac.ir) نویسنده مسئول: DOR: 20.1001.1.20087942.1401.16.6.7.4

(Ashour et al., 2020). همچنین در کامبوج، چیم و همکاران تحت سناریوهای RCP4.5 و RCP8.5 RCP2.6 پیش‌بینی نمودند که تغییرات دما و بارش منجر به خشکسالی در آینده خواهد گشت (Chim et al., 2021). در کشور مالاوی در آفریقا از پیش‌بینی تغییرات دمای کمینه، بیشینه و بارش بیشینه در حوضه رودخانه شایر در دوره ۲۰۷۰-۲۰۴۱ و ۲۰۷۱-۲۰۴۰ نتیجه گرفته شد که تغییرات بارش نسبت به دما بیشتر خواهد بود (Kavwenje et al., 2022). روبیتا و همکاران از مطالعه پیش‌بینی روند تغییرات بارندگی در آمریکای جنوبی در دوره ۲۰۲۱-۲۰۵۰ با استفاده از مدل‌های GCM و ریز مقیاس نمایی ANN نتیجه گرفتند که تحت تغییراقلیم روند بارندگی زمستانه تا ۳۰ درصد کاهشی خواهد شد (Reboita et al., 2022). در عراق نیز، محمد و حسن در تاثیر تغییراقلیم بر دما و بارش را با استفاده از مدل‌های GCM در دهه‌های ۲۰۲۱-۲۰۵۱، ۲۰۴۰-۲۰۷۰ و ۲۰۸۱-۲۰۷۰ بررسی نموده و دریافتند که دما بین ۵/۹۱ تا ۵/۵۷ درجه سلسیوس تحت سناریو RCP4.5 و بین ۱/۴ تا ۱/۵ درجه سلسیوس تحت سناریو RCP8.5 افزایش خواهد یافت (Mohammed and Hassan, 2022).

در کشورمان ایران نیز، فلاح قلهری و همکاران (۱۳۹۳) میزان بارش در بازه زمانی ۱۹۹۸-۲۰۰۷ را در استان خراسان رضوی با استفاده از ریز مقیاس نمایی مدل GCM به روش ANN پیش‌بینی کرده و به این نتیجه رسیدند که این روش می‌تواند بارش را با دقت قابل قبولی پیش‌بینی کند. شاهین رخسار و همکاران (۱۳۹۸) در پژوهشی دیگر نیز جهت شبیه‌سازی دما، بارش و تابش خورشیدی آتی تحت پدیده تغییراقلیم در ایستگاه سینوپتیک رشت از مدل‌های (GFCM21 NCCCSM INCM3 HADCM3 GCM استفاده کردند.

رزاق زاده و همکاران (۱۳۹۹) با استفاده از دو مدل BNU-ESM و CAN-ESM2 و روش ریز مقیاس نمایی ANN به شبیه‌سازی بارش در شهر تبریز پرداختند. نتایج حاکی از آن است که بارش برای دوره آتی ۲۰۲۰-۲۰۶۰ برای سناریو RCP4.5 و RCP8.5 کاهش پیدا می‌کند. سید وحید شاهوی و همکاران (۱۳۹۹) به بررسی تاثیر تغییراقلیم بر دما و بارش در حوضه روانسر استان کرمانشاه با استفاده از مدل گردش عمومی جو CanESM2 و روش SDSM پرداختند. نتایج نشان داد که مقادیر میانگین بارندگی سالانه، دماهای کمینه و بیشینه سالانه افزایش خواهد یافت. در مقابل، استاد و همکاران جهت پیش‌بینی پارامترهای اقلیمی دشت اصفهان-برخوار با استفاده از مدل LARS-WG به ریز مقیاس نمایی پنج مدل متفاوت GCM پرداختند. نتایج مطالعه ایشان نشان داد که مدل MIROC5 دقت پیشتری نسبت به مدل‌های MIROC-ESM-CHEM، MIROC-ESM و MRI-CGCM3 تمامی RCP4.5، RCP8.5 و RCP2.6 کاهش می‌باید (Ostad et

های مبتنی بر هوش مصنوعی (احمدی و مراح، ۱۴۰۰) به‌منظور شبیه‌سازی و پیش‌بینی عناصر و متغیرهای اقلیمی در دوره‌های زمانی آتی استفاده می‌شود. با توجه به لحاظ شرایط فیزیک جو و زمین و تمامی فرایندهای مابین آنها کاربرد مدل‌های GCM روز به روز در مطالعات اقلیمی در حال افزایش است؛ اما به دلیل اینکه مدل‌های GCM به لحاظ تفکیک مکانی و زمانی از گام‌های بزرگ استفاده می‌کنند داده‌های مستخرج از آن‌ها به صورت مستقیم قابلیت استفاده برای محدوده با وسعت زیرشبکه را ندارند. لذا برای استفاده از داده‌های GCM از انواع روش‌های ریز مقیاس نمایی آماری مثل (Ostad et al., 2020; Kavwenje et al., 2022) LARS-WG، CCT (نادری و همکاران، 2020) SDSM و همچنین روش‌های مبتنی بر روابط خطی/غیرخطی بین متغیرها مثل شبکه عصبی مصنوعی (ANN) در پیش‌بینی عناصر و متغیرهای اقلیمی در دوره‌های زمانی آتی استفاده می‌شود (Ansari et al., 2015; Golkar Hamzee Yazd et al., 2019)

تحقیقات بسیاری در ارتباط با اثر پدیده تغییراقلیم بر پارامترهای هواشناسی در نقاط مختلف جهان و ایران صورت گرفته و می‌گیرند که حاکی از اهمیت و ضرورت پیوستگی و استمرار مطالعه این پدیده است. در این راستا، بابل و همکاران در مطالعه‌ای در تایلند کاهش بارش برای دوره ۲۰۱۱-۲۰۴۰ را روی حوضه آبریزی با استفاده از روش ANN و روش رتبه‌بندی متغیر گزارش دادند (Babel et al., 2017). در نتیجه مطالعه‌ای دیگر، نیلاوار و همکاران در پژوهشی بر روی رودخانه بورنا در هند، افزایش دما، بارش و به طور مشابه میانگین جریان ماهانه با استفاده از سناریوهای اقلیمی انتشار (RCP) برای دوره ۲۰۰۹ تا ۲۰۹۹ پیش‌بینی نمودند (Nilawar et al., 2019) ژو و همکاران تاثیر تغییراقلیم بر دما و بارندگی در دو تالاب چین تا سال ۲۱۰۰ را با استفاده از مدل‌های گزارش پنجم پیش‌بینی کردند. نتایج نشان داد که نوسانات دما و بارش در آینده بیشتر خواهد بود (Zhu et al., 2019). در پژوهشی دیگر، رحیمووا و همکاران اثرات تغییراقلیم بر پارامترهای اقلیمی و رواناب آتی مورد انتظار در حوضه رودخانه بوقتیرما در قرقاستان را با استفاده از ۶ مدل GCM بررسی کردند. نتایج نشان داد که در دوره آتی ۲۰۳۶-۲۰۶۵ و ۲۰۷۱-۲۰۱۰ میانگین دما و تبخیر-ترق افزایش و نیز رواناب به نسبت میزان افزایش در بارش پیش‌بینی شده رفتاری متفاوتی و ناگهانی خواهد داشت (Rakhimova et al., 2020). برای کشور امارات متحده عربی افزایش دمای آتی برای ۲۰۲۱-۲۰۵۰ تا ۲/۵ درجه سلسیوس و تا ۴/۱۹ درجه سلسیوس برای دوره ۲۰۵۱-۲۰۸۰ از بررسی RCP4.5 و RCP8.5 با کمک ANN می‌توان انتظار داشت

1 Artificial Neural Network

2 Representative Concentration Pathway

شهر شیراز با توجه به دارا بودن اقلیم خشک و نیمه‌خشک قابلیت بیشتری در دریافت آثار سوء تغییرات اقلیمی خواهد داشت. بنابراین، اگر عواملی که بر تغییراقلیم اثر منفی می‌گذارند کنترل نشوند، مشکلات فراوانی در حوزه تامین آب و شرایط زیست محیطی در شیراز ایجاد خواهد شد که این امر نیازمند مطالعات مستمر است. لذا در مطالعه حاضر اثرات تغییر اقلیم در ارتباط با پارامترهای هواشناسی (دما) بیشینه، دما کمینه، بارش و تابش خورشیدی) با استفاده از به روزترین مدل‌های عمومی گردش جو و روش شبکه عصبی مصنوعی (براساس مناسب‌ترین پیش‌بینی) برای ریزمقیاس نمایی، در محدوده شهرستان شیراز، مورد بررسی و پایش قرار گرفته و تصویرسازی شرایط آتی انجام می‌گردد.

مواد و روش‌ها

منطقه مورد مطالعه

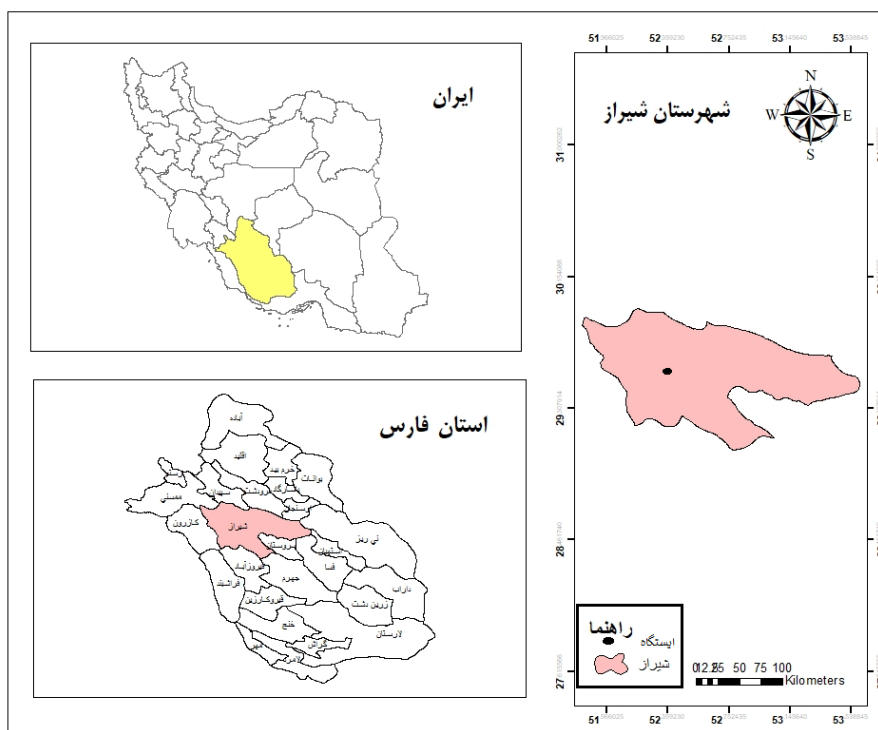
منطقه مورد مطالعه، شهرستان شیراز وسعتی برابر 6049 کیلومتر^2 مربع داشته و در قسمت مرکزی استان فارس و در محدوده 29° و 36° دقیقه شمالی و 52° و 31° دقیقه قرار دارد. شیراز به دلیل قرار گرفتن در دامنه های جنوبی زاگرس دارای آب و هوای معتدلی می‌باشد. شهر شیراز در زون 39° قرار دارد. محدوده مورد مطالعه دارای میانگین بارش سالیانه برابر 337.8 میلی‌متر (مستخرج از داده‌های سازمان هواشناسی ایران) می‌باشد. شکل (۱) موقعیت جغرافیایی شهرستان شیراز را نشان می‌دهد.

ا. جواهیریان و همکاران تغییرات دما و بارش در دوره ۲۰۲۰-۲۰۶۰ خوبه سد لار تحت سناریوهای RCP8.5، RCP4.5 و RCP2.6 را مطالعه کرده و نشان داده که دما $1/12$ تا $1/101$ درجه (Javaherian et al., 2021) افزایش پیدا خواهد کرد (برای بررسی پارامترهای اقلیمی ایستگاه سینوپتیک سنتنچ، برونداد مدل CanESM2 را با استفاده از مدل آماری SDSM ریز مقیاس نمایی نمودند. نتایج نشان داد که میانگین دما کمینه ماهانه کاهش و میانگین دما بیشینه افزایش پیدا می‌کند. یوسفی و همکاران (۱۴۰۰) به منظور پیش‌بینی GCM اثر تغییر اقلیم بر دما آینده در سطح ایران از مدل‌های RCP2.6 و RCP8.5 نشان داد که بیشترین دما فصلی مربوط به تابستان و کمترین مربوط به فصل زمستان خواهد بود.

با توجه به پیشینه پژوهش می‌توان احتمال تشدييد پدیده تغییر اقلیم و پیامدهای آن در سال‌های آینده را به واقیت نزدیکتر دانست. همچنین نتایج نشان دهنده واستنگی عملکرد مدل‌های GCM نسبت به مناطق با جغرافیا، اقلیم و توپوگرافی مختلف است. بطوری که آثار پدیده تغییر اقلیم گاه در مناطق نزدیک به هم (از نظر جغرافیایی) متفاوت است، یعنی در یکی روند دما کاهشی و در دیگری ثابت یا افزایشی ثبت شده است. این موضوع امکان قضاؤت دقیق در میزان تغییرات پارامترهای هواشناسی تحت تاثیر تغییر اقلیم را غیرممکن کرده و نیاز به مطالعه و تحقیقات خاص هر منطقه را الزامی می‌کند.

جدول ۱- مشخصات مدل‌های GCM مورد استفاده در این پژوهش

| ردیف | مدل | کشور موسس | تفکیک مکانی (درجه جغرافیایی) |
|------|-----------------|-----------|------------------------------|
| ۱ | CanESM2 | Canada | $2/79 \times 2/81$ |
| ۲ | Miroce-ESM-CHEM | Japan | $2/8 \times 2/8$ |
| ۳ | Miroce-ESM | Japan | $2/8 \times 2/8$ |
| ۴ | HaddGem2-ES | England | $1/25 \times 1/9$ |
| ۵ | NorESM1-ME | Norway | $2/5 \times 1/87$ |
| ۶ | GIIS-E2-H-CC | America | $2 \times 2/5$ |
| ۷ | ACCESS1.3 | Australia | $1/9 \times 1/25$ |
| ۸ | HadGem2-CC | England | $1/9 \times 1/25$ |
| ۹ | CNRM-CM5 | France | $1/4 \times 1/41$ |
| ۱۰ | GISS-E2-H | America | $2 \times 2/5$ |
| ۱۱ | FGOALS-S2 | China | $2/79 \times 2/81$ |
| ۱۲ | GISS-E2-R-CC | America | $2 \times 2/5$ |



شکل ۱- موقعیت جغرافیایی ایستگاه سینوبیتیک شیواراز

ارزیابی های محیطی کشور هلن داده است. بر طبق این سناریو واداشت تابشی در اواسط این قرن به حدود $\frac{3}{1}$ و سرانجام به ۲/۶ وات بر متر مربع در سال ۲۱۰۰ می رسد.

سناریوی RCP4.5

سناریوی RCP4.5 فرض می کند که انتشار گازهای گلخانه ای تا اواسط قرن بیست و یکم منجر به افزایش نیتروی تابش خورشیدی برابر با $\frac{4}{5}$ وات متر در متر مربع در سال ۲۱۰۰ ثبت می شود.

سناریوی RCP6

این سناریو توسط گروه مدلسازی AIM در موسسه ملی مطالعات محیطی کشور ژاپن طرح ریزی شده است. بر طبق این سناریو واداشت تابشی به علت استفاده کردن از فناوری های تازه و سیاست های کاهش گازهای گلخانه ای ثابت می ماند.

سناریوی RCP8.5

یک سناریوی افزایش شدت تابش خورشیدی است که پیش بینی می کند که تا سال ۲۱۰۰ این میزان به $\frac{8}{5}$ وات بر متر مربع همکام با افزایش غلظت CO_2 به معادل 1370 ppm خواهد رسید. شایان ذکر است که این سناریو توسط گروه مدل سازی

داده ها و مدل های مورد استفاده

در انجام این تحقیق، داده های ماهانه بارش و درجه حرارت سطح زمین در دوره پایه (دوره ۲۰ ساله ۱۹۸۶-۲۰۰۵) از سازمان هواشناسی استان فارس و نیز داده های تابش خورشیدی از درگاه اینترنتی ناسا (https://www.nasa.gov) اخذ شد. همچنین داده های دمای حداکثر، دمای حداکثر، بارش و تابش خورشیدی برونداد ۱۲ مدل GCM منتخب گزارش پنجم (جدول ۱) از درگاه اینترنتی دپارتمان انرژی آزمایشگاه ملی لارنس به آدرس (-NETCDF) (node.llnl.gov/search/cmip5) به فرمت شبکه ای (node.llnl.gov/search/cmip5 دریافت شد. برای هر کدام از مدل های گزارش پنجم مهم ترین پارامترهای اقلیمی به عنوان پیش بینی کننده در این مطالعه مورد بررسی قرار گرفته است.

محققان به بررسی شرایط مختلف با استفاده از فرضیه های مختلف در مورد شرایط اقتصادی، اجتماعی، تکنولوژیکی و محیطی آینده، تحت عنوان سناریوهای پیش بینی پرداخته اند. سناریوهای RCP، شرایط اقلیمی دوره آتی را در چهار حالت مختلف توصیف می کند.

سناریوی RCP2.6

طراحی این سناریو توسط گروه مدلسازی IMAGE از موسسه

را تعریف می‌کند. لایه مخفی و میانی از گرههای پردازشگر تشکیل شده‌اند و محل پردازش داده‌ها است. تعداد گرهها و لایههای مخفی به وسیله سعی و خطاب مشخص می‌شود.

روندهای مدل‌سازی و فرآیند آموزش شبکه عصبی

در فرآیند آموزش شبکه عصبی تعداد نمونه‌های لایه مخفی و ورودی با سعی و خطاب بدست می‌آید. در اجرا کردن این فرآیند، شبکه‌ای به عنوان بهترین انتخاب می‌شود که مقدار R بالا و RMSE پایین تری داشته باشد. هنگام اجرای فرآیند، آموزش شبکه پس از تکرارهای متوقف می‌شود. تعداد تکرارها اختیاری است اما تعداد تکرارها باید به گونه‌ای باشد که خطا شبکه طوری کم شود که مدل به دقت مطلوب برسد. در مدل‌سازی داده‌های سری زمانی به دو دسته داده‌های واسنجی و صحبت‌سنگی تقسیم می‌شوند. برای اینکه نتایج بهتری نیز ارایه گردد بایستی داده‌ها را نرمال کرد (Nourani et al., 2009).

در این مطالعه به منظور ریزمقیاس کردن داده‌های مدل GCM از ریزمقیاس‌نمایی آماری مبتنی بر ANN استفاده شد. برای انتخاب موثرترین مدل GCM به کمک هوش مصنوعی از روش پرسپترون چندلایه ریزمقیاس‌نمایی را انجام دهیم. از ۷۰ درصد داده‌ها برای آموزش شبکه بطور تصادفی و از ۳۰ درصد داده‌ها جهت تست شبکه بهره گرفته می‌شود. پس از ریز مقیاس نمایی به کمک شبکه عصبی برای هر کدام از پارامترهای دمای حداقل، دمای حداکثر، تابش خورشیدی و بارش دو مدلی که در این چهار پارامتر با توجه به معیارهای ارزیابی مشترک بود به عنوان مدل برتر انتخاب شد. ملاک برتری بررسی مقدار R، MSE و RMSE بود. و سپس موثرترین متغیرهای مدل GCM تعیین می‌شود.

پیش‌بینی کننده‌ها

برای پیش‌بینی متغیرهایی نظیر بارش و دما یک دسته از پارامترهای جوی در فرآیند مذکور تاثیر بیشتری نسبت به سایر عوامل دارند. به عنوان نمونه بر پیش‌بینی مقدار بارش، مقدار عواملی مثل رطوبت نسبی، دمای حداقل، دمای حداکثر و سرعت باد نقش بیشتری داشته‌اند (اثر گذار تر بوده اند). لذا در پیش‌بینی بارش با به کارگیری هوش مصنوعی (شبکه عصبی مصنوعی) از آن عواملی (پیش‌بینی کننده‌هایی) که نقش پررنگ‌تری (وزن‌تر) داشتند به عنوان ورودی شبکه استفاده می‌شود (و نه تمامی پارامترهای موجود در برونداد مدل GCM) تا نتیجه به واقعیت نزدیک‌تر و در عین حال حجم، زمان و خطای سیستماتیک در محاسبات بهینه شده باشد.

برای تعیین این متغیرها از روش ضریب همبستگی استفاده می‌شود که در ابتدا به کمک نرم‌افزار SPSS مقدار همبستگی میان

MESSAGET MESSAGE در این مطالعه از دو سناریوی RCP4.5 و RCP8.5 همانند روشن مطالعه رزاق زاده و همکاران (۱۳۹۶) استفاده شده است. در ادامه پس از انتخاب مناسب‌ترین مدل GCM برای منطقه مورد مطالعه، پیش‌بینی کننده‌هایی که بیشترین اثر را دارند مطابق روش خیزمه‌نژاد و همکاران (۱۴۰۱) براساس پارامتر ضریب همبستگی مشخص می‌شود (Thomson et al., 2011).

آماره‌های ارزیابی

گام اول در مدل‌سازی، نرمال کردن داده‌های ورودی از جمله دما، بارش و غیره می‌باشد. از دلایل اصلی نرمال سازی داده‌ها منطقی کردن مدل برای ورودی‌ها با بعد های مختلف می‌باشد. لذا از تابع نرمال سازی طبق رابطه (۱) استفاده شده که داده‌ها در را بازه (۰+۱) منتقال می‌دهد. در گام بعدی اقدام به ریزمقیاس‌نمایی با استفاده از ANN شد. انتخاب متغیرهای ورودی مناسب از طریق ارزیابی عملکرد شبکه عصبی با ورودی‌های مختلف و لحاظ کمترین خطای (RMSE) و بالاترین ضریب همبستگی (r) (روابط ۲ و ۳) انجام گردید.

$$N = \left[\frac{X - X_{\min}}{X_{\max} - X_{\min}} \right] \quad (1)$$

$$RMSE = \sqrt{\frac{1}{n} \sum_{i=1}^n (x_i - y_i)^2} \quad (2)$$

$$r = \frac{\sum_{i=1}^n (x_i - \bar{x})(y_i - \bar{y})}{\sqrt{[\sum_{i=1}^n (x_i - \bar{x})^2]^{0.5} [\sum_{i=1}^n (y_i - \bar{y})^2]^{0.5}}} \quad (3)$$

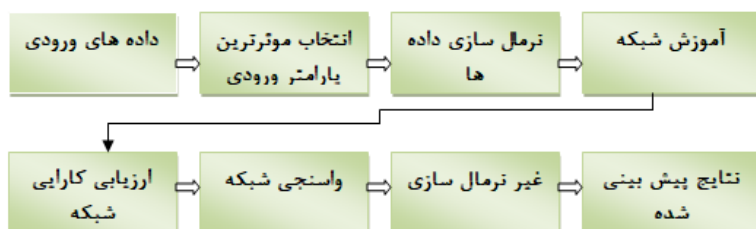
که در این معادلات i مقدار مشاهده ای، x_i داده های پیش‌بینی شده، \bar{X} میانگین داده های پیش‌بینی شده، \bar{Y} میانگین داده های مشاهده شده و n تعداد داده های مورد استفاده می‌باشد (Babel et al., 2017).

معرفی شبکه عصبی مصنوعی

شبکه عصبی مصنوعی در سال‌های گذشته کاربرد بسیاری در مدل‌سازی به عنوان یک مدل غیرخطی داشته است. در مدل شبکه عصبی پردازش اطلاعات بطور موازی انجام می‌گیرد و برای به وجود آوردن ارتباط میان داده‌های خروجی و ورودی به فرمولهای سخت ریاضی احتیاجی ندارد. شبکه عصبی یک سامانه پردازشی داده است که از مغز انسان الگو می‌گیرد. شبکه عصبی از لایه میانی، لایه ورودی و لایه خروجی تشکیل شده است. لایه ورودی یک وسیله برای تهیه کردن داده و یک لایه انتقال دهنده است. لایه خروجی مشمول مقدارهای پیش‌بینی شده توسط مدل می‌باشد و خروجی مدل

می باشد. لازم به ذکر است به علت وجود خطای سیستماتیک بین داده های مدل GCM و داده های مشاهداتی، قبل از ریز مقیاس نمایی حذف خطای سیستماتیک از داده های GCM ضروری به نظر می رسد. استاندارد کردن (تفريق ميانگين از داده ها و تقسيم بر انحراف استاندارد) يكی از روش های متداول برای حذف کردن خطای سیستماتیک است. مراحل انجام محاسبات تحقیق در محیط نرم افزاری متلب کد نویسی و اجرا شده است. شمای کلی از روند مراحل مدل سازی به روش ANN در مطالعه حاضر در شکل (۲) آورده شده است.

داده‌های مشاهداتی دمای حداقل، دمای حداکثر، بارش و تابش خورشیدی با داده‌هایی از مدل‌های GCM که به عنوان پیش‌بینی کننده هستند بدست می‌آید و در نهایت متغیرهایی که بیشترین ضریب همبستگی را با داده‌های مشاهداتی دارند به عنوان پارامترهای ورودی تاثیرگذار به مدل دادخواهد شد. گام دوم استفاده از مدل‌های مبتنی بر هوش مصنوعی برای ریزمقیاس کردن موثرترین پارامترهای تعیین شده در گام اول می‌باشد. گام آخر پیش‌بینی بارش و دما و تابش خورشیدی ایستگاه سینوپتیک شیازان برای آینده تحت سناریوهای RCP8.5 و RCP4.5.



شکل ۲- شمای کلی از روند مراحل مدل سازی به روشن ANN

به عنوان مدل برتر انتخاب شد. ملاک برتری بررسی مقدار R و RMSE در نظر گرفته شده در این مطالعه، دو مدل HadGem2-cc و CanESM2 به دلیل داشتن بیشترین همبستگی و کمترین خطای بین داده‌های مشاهداتی و داده‌های ریزمقیاس شده مدل‌های GCM به عنوان مدل برتر انتخاب شدند. نتایج محاسبات آماره‌های ارزیابی بین مدل‌های GCM ریز مقیاس شده و داده‌های مشاهداتی ایستگاه سینوپتیک به جهت انتخاب مدل بیت دارد. (۲) آمده شده است.

پیش‌بینی کننده‌هایی که بالاترین مقدار همبستگی را دارا هستند برای ورود به شبکه انتخاب شدند؛ برای انتخاب این پیش‌بینی کننده‌ها از روش ضریب همبستگی در نرم افزار SPSS استفاده شد به طوری که بین داده‌های مشاهداتی بارش، تابش، دمای حداقل و دمای حداکثر با تمامی متغیرهای مدل GCM همبستگی گرفته شد و آن متغیرهایی که بیشترین مقدار همبستگی با داده‌های مشاهداتی را دارا بودند به عنوان پیش‌بینی کننده برای ورود به مدل شبکه عصبی انتخاب شد. لازم به ذکر است که برای هر کدام از پارامترها این پیش‌بینی کننده‌ها متفاوت هستند. از نتایج مندرج در جداول (۳) و (۴) می‌توان دریافت که که موثرترین پارامترها برای مدل HadGEM2CC برای بارش (دمای حداکثر، دمای حداقل، تابش خورشیدی، تابش با طول موج کوتاه، تنش باد سطحی در جهت جنوب شرقی، فشار هوای سطحی و فشار هوا در سطح دریا)، برای دمای بیشینه (تابش با طول موج کوتاه ، تنش باد سطحی در جهت جنوب شرقی ، سرعت باد سطحی ، دمای حداقل ، تابش خورشیدی)،

بحث و نتایج

گام اول (تعیین موثرترین مدل GCM و موثرترین پیش‌بینی کننده‌ها):

برای انتخاب موثرترین مدل GCM در ابتدا به کمک هوش مصنوعی در محیط نرم افزار متلب اقدام به ریز مقیاس نمایی شد. برای آموزش شبکه^۱ MLP ۷۰ درصد داده‌ها به صورت تصادفی و جهت تست شبکه از ۳۰ درصد داده‌های باقی مانده استفاده شده است. جهت برنامه نویسی کدهای موردنظر از نرم افزار متلب استفاده شده است. با استفاده از سعی و خطأ تعداد لایه‌های پنهان و تعداد نورون‌های موجود در لایه پنهان انتخاب و کارایی مدل با استفاده از شاخص‌های آماری MSE، RMSE و R با هر بار تکرار آموزش برسی شد. تعداد تکرارها برابر ۵۰۰ در نظر گرفته شده است. کمترین مقدار شیب خطای برای وزن‌ها (e-100) در نظر گرفته شده است. کمترین پیش‌فرض مقدار ۱۰ تا ۱۰۰ است و هر چه این مقدار کمتر باشد تعداد آموزش بیشتر است. بهترین شبکه برای دوره پایه با اجرا کردن مدل و تعییر نورون‌ها و تکرار با توجه به کمتر بودن مقدار RMSE و بالا بودن مقدار R انتخاب و ذخیره می‌شود. پس از ریز مقیاس نمایی به کمک شبکه عصبی برای هر کدام از پارامترهای دمای حداقل، دمای حداقل، تابش خورشیدی و بارش دو مدلی، که در این چهار پارامتر با توجه به معیارهای ارزیابی، مشترک بود

جدول ۲- نتایج محاسبات آماره های ارزیابی برای پارامتر تابش دمای بیشینه، کمینه، بارش و تابش خورشیدی به جهت انتخاب مدل GCM برتر

| مدل | آماره ارزیابی | تابش خورشیدی | بارش | دماهی بیشینه |
|-----------------|---------------|--------------|--------|--------------|
| CanESM2 | MSE(TEST) | ۰/۰۵۶۵ | ۰/۰۰۵۴ | ۰/۰۰۳۴ |
| | RMSE | ۰/۱۶۲۸ | ۰/۰۷۳۵ | ۰/۰۰۵۸ |
| | MAE(TEST) | ۰/۱۲۸۷ | ۰/۰۵۶۵ | ۰/۰۴۵۸ |
| | R | ۰/۴۲۵ | ۰/۹۷ | ۰/۹۷۹ |
| Miroce-ESM-CHEM | MSE(TEST) | ۰/۰۲۴۲ | ۰/۰۰۸۲ | ۰/۰۰۹۵ |
| | RMSE | ۰/۱۵۵۹ | ۰/۰۹۰۹ | ۰/۰۸۰۶ |
| | MAE(TEST) | ۰/۱۱۶۴ | ۰/۰۹۹۳ | ۰/۰۵۵۹ |
| | R | ۰/۴۷۵ | ۰/۹۵۸ | ۰/۹۷۱ |
| Miroce-ESM | MSE(TEST) | ۰/۰۰۳ | ۰/۰۰۷۲ | ۰/۰۰۴۱ |
| | RMSE | ۰/۱۷۳۲ | ۰/۰۸۴۹ | ۰/۰۷۷۵ |
| | MAE(TEST) | ۰/۱۴۰۹ | ۰/۰۹۹۳ | ۰/۰۴۷۷ |
| | R | ۰/۳۵۲ | ۰/۹۱ | ۰/۹۶۱ |
| HaddGem2-ES | MSE(TEST) | ۰/۰۱۷۷ | ۰/۰۰۶ | ۰/۰۰۴۳ |
| | RMSE | ۰/۱۳۳ | ۰/۰۷۷۵ | ۰/۰۶۵۶ |
| | MAE(TEST) | ۰/۰۹۶۴ | ۰/۰۵۹۳ | ۰/۰۵۲۴ |
| | R | ۰/۶۸۴ | ۰/۹۵۸ | ۰/۹۷۶ |
| NorESM1-ME | MSE(TEST) | ۰/۰۲۴۹ | ۰/۰۱۴۸ | ۰/۰۰۶۲ |
| | RMSE | ۰/۱۵۷۸ | ۰/۱۲۱۷ | ۰/۰۷۸۷ |
| | MAE(TEST) | ۰/۱۱۸۲ | ۰/۰۹۱۲ | ۰/۰۹۳ |
| | R | ۰/۵۵۳ | ۰/۹۵۳ | ۰/۹۶۶ |
| GIIS-E2-H-CC | MSE(TEST) | ۰/۰۲۸ | ۰/۰۱۵۲ | ۰/۰۰۶ |
| | RMSE | ۰/۱۶۷۳ | ۰/۱۲۲۳ | ۰/۰۷۷۵ |
| | MAE(TEST) | ۰/۰۸۶۱ | ۰/۰۹۵۵ | ۰/۰۶۰۹ |
| | R | ۰/۴۸ | ۰/۹۱۹ | ۰/۹۳۸ |
| ACCESS1.3 | MSE(TEST) | ۰/۰۲۷۱ | ۰/۰۰۶۶ | ۰/۰۰۴ |
| | RMSE | ۰/۱۶۴۶ | ۰/۰۸۱۲ | ۰/۰۶۳۲ |
| | MAE(TEST) | ۰/۱۱۵۶ | ۰/۰۶۲۹ | ۰/۰۴۸۳ |
| | R | ۰/۵ | ۰/۹۶ | ۰/۹۸۴ |
| HadGem2-CC | MSE(TEST) | ۰/۰۱۹۵ | ۰/۰۰۵۹ | ۰/۰۰۴۱ |
| | RMSE | ۰/۱۳۹۹ | ۰/۰۷۶۸ | ۰/۰۶۴ |
| | MAE(TEST) | ۰/۰۹۰۸ | ۰/۰۵۷۱ | ۰/۰۴۹۵ |
| | R | ۰/۶۲۷ | ۰/۹۷۸ | ۰/۹۷۳ |
| CNRM-CM5 | MSE(TEST) | ۰/۰۱۹۹ | ۰/۰۱۰۷ | ۰/۰۰۴۴ |
| | RMSE | ۰/۱۴۱۱ | ۰/۰۶۳۴ | ۰/۰۶۳ |
| | MAE(TEST) | ۰/۰۹۸۵ | ۰/۰۸۴۷ | ۰/۰۵۱۹ |
| | R | ۰/۸۲۱ | ۰/۹۶۶ | ۰/۹۵۴ |
| GISS-E2-H | MSE(TEST) | ۰/۰۲۳۳ | ۰/۰۱۸۹ | ۰/۰۰۵۴ |
| | RMSE | ۰/۱۵۲۶ | ۰/۰۷۳۵ | ۰/۰۷۱۴ |
| | MAE(TEST) | ۰/۰۹۵۳ | ۰/۰۸۷۹ | ۰/۰۵۹۹ |
| | R | ۰/۴۳۲ | ۰/۹۳۹ | ۰/۹۷۲ |
| FGOALS-S2 | MSE(TEST) | ۰/۰۴۹۸ | ۰/۰۱۰۹ | ۰/۰۰۳۳ |
| | RMSE | ۰/۲۲۳۲ | ۰/۱۲۶۱ | ۰/۰۵۷۴ |
| | MAE(TEST) | ۰/۱۳۸ | ۰/۰۷۷۶ | ۰/۰۴۲۷ |
| | R | ۰/۴۵۷ | ۰/۹۶۸ | ۰/۹۸۱ |
| GISS-E2-R-CC | MSE(TEST) | ۰/۰۲۱۸ | ۰/۰۱۵۷ | ۰/۰۰۶ |
| | RMSE | ۰/۱۴۷۶ | ۰/۱۲۵۳ | ۰/۰۷۷۵ |
| | MAE(TEST) | ۰/۱۱۰۳ | ۰/۰۹۸۳ | ۰/۰۶۴ |
| | R | ۰/۵۸ | ۰/۹۲ | ۰/۹۶۵ |

HadGEM2CC در شکل‌های (۳) و (۴) نشان داده شده است. مشاهده می‌شود که منطقه مورد مطالعه در دوره آتی در برخی ماه‌ها شاهد افزایش در مقادیر پارامترهای بارندگی، دما و تابش خورشیدی خواهد بود. تحت هر دو سناریو بارش در فصل زمستان کاهش می‌یابد. در فصل تابستان تعییرات بارش اندک و تقریباً ثابت است. به نظر می‌رسد موافق با دیدگاه لوین (Levin., 2008) این کاهش بارندگی در فصل سرد مرتبط با افزایش آلودگی در پی انتشار بیشتر گازهای گلخانه‌ای باشد.

مقایسه نتایج سناریوهای 4.5 و RCP 8.5 نشان می‌دهد که هر دو سناریو عملکرد تقریباً مشابهی در پیش‌بینی بارندگی منطقه در دوره‌های آتی دارند. نتایج شبیه‌سازی شده مدل HadGEM2CC نشان می‌دهد که بارش شیراز در دوره ۲۰۴۵-۲۰۲۶ تحت سناریوهای RCP4.5 و RCP8.5 به ترتیب ۱۱/۲۶ و ۱۹/۷۵ درصد و در دوره ۲۰۶۵-۲۰۴۶ به ترتیب ۲۱/۴۵ و ۳۶/۵۱ درصد کاهش می‌یابد. برای مدل CanESM2 نیز بارش در دوره ۲۰۴۵-۲۰۲۶ تحت سناریوهای RCP4.5 و RCP8.5 به ترتیب ۷/۴۴ و ۱۶/۸۶ درصد و در دوره ۲۰۶۵-۲۰۴۶ به ترتیب ۳۰/۰۳ و ۳۵/۱۸ درصد کاهش می‌یابد. اگر چه براین اساس می‌توان گفت که بارش کاهش می‌یابد اما احتمال وقوع وقایع حدی طبق گزارش‌های تهیه شده توسط IPCC در سال ۲۰۱۸ افزایش می‌یابد. بدین صورت که در بیشتر مناطق با کاهش بارش سبب افزایش احتمال وقوع وقایع حدی می‌شود (IPCC, 2018).

دمای کمینه (تابش با طول موج کوتاه، تنفس باد سطحی در جهت جنوب شرقی، سرعت باد سطحی، دمای حداکثر و تابش خورشیدی)، تابش خورشیدی (تابش با طول موج کوتاه، سرعت باد سطحی، تنفس باد سطحی در جهت جنوب شرقی، دمای حداکثر و دمای حداقل) و نیز برای مدل CanESM2، برای بارش (دمای حداکثر، دمای حداقل، تابش خورشیدی، ژئوپتانسیل، تابش با طول موج بلند، توode آب حاوی دوتربیوم، رطوبت نسبی نزدیک سطح)، برای دمای بیشینه (دمای حداکثر، تابش خورشیدی، تابش با موج بلند، رطوبت نسبی نزدیک سطح و توode آب حاوی دوتربیوم)، برای دمای کمینه (دمای حداقل، تابش خورشیدی، تابش با موج بلند، رطوبت نسبی نزدیک سطح و توode آب حاوی دوتربیوم) و برای تابش خورشیدی (تابش با طول موج بلند، تابش موج کوتاه آسمان صاف، تابش با طول موج کوتاه، دمای حداکثر، ژئوپتانسیل، رطوبت نسبی نزدیک سطح و دمای حداقل) می‌باشند.

گام دوم (پیش‌بینی بارش، دما و تابش خورشیدی در دوره آتی)

مقادیر بارش، دمای کمینه، دمای بیشینه و تابش خورشیدی پیش‌بینی شده برای دوره‌های زمانی سال‌های ۲۰۴۵-۲۰۲۶ و ۲۰۶۵-۲۰۴۶ تحت سناریوهای RCP4.5 و RCP8.5 و نیز مقادیر مشاهداتی در دوره پایه ۲۰۰۵-۱۹۸۶ برای دو مدل CanESM2 و

جدول ۳- ضریب همبستگی بین مقادیر پیش‌بینی کننده‌ها، کمینه و بیشینه دمای ماهانه، تابش خورشیدی و بارش برای مدل HadGEM2CC

| پیش‌بینی کننده | دما بیشینه | دما کمینه | تابش خورشیدی | بارش |
|------------------------------------|------------|-----------|--------------|--------|
| (بخار آب) Evspbsl | -۰.۲۰۹ | -۰.۱۸۱ | -۰.۲۶ | ۰.۱۶۸ |
| Hurs (رطوبت نسبی نزدیک سطح) | -۰.۷۰۵ | -۰.۶۶۹ | -۰.۱۶۹ | ۰.۴۹ |
| Huss (رطوبت مخصوص سطحی) | -۰.۱۱۳ | -۰.۱۴۲ | -۰.۴۷۶ | ۰.۰۶۸ |
| Ps (فشار هوای سطحی) | -۰.۶۲۱ | -۰.۵۷۳ | -۰.۰۸۹ | ۰.۴۷۱ |
| Psl (فشار هوا در سطح دریا) | -۰.۹۱۱ | -۰.۵۶۵ | -۰.۰۲۴ | ۰.۴۵۲ |
| Rlds (تابش طول موج بلند آسمان صاف) | ۰.۴۹۷ | ۰.۴۵۷ | -۰.۱۱۹ | -۰.۳۴ |
| Rlus (تابش موج بلند) | ۰.۶۳۱ | ۰.۵۹۳ | ۰.۰۱۳ | -۰.۴۳۹ |
| Rstdt (تابش طول موج کوتاه) | ۰.۸۶۸ | ۰.۸۴ | ۰.۳۷۷ | -۰.۵۸۵ |
| Rlut (تابش طول موج خروجی بلند) | ۰.۴۹۵ | ۰.۴۵۵ | -۰.۰۰۷ | -۰.۳۹۲ |
| Rsut (تابش طول موج کوتاه) | ۰.۸۶۸ | ۰.۸۴۶ | ۰.۵۰۴ | -۰.۵۶۲ |
| Sfewind (سرعت باد سطحی) | ۰.۷۸۸ | ۰.۷۸۴ | ۰.۵۳۶ | -۰.۴۸۷ |
| Tauu (تنفس باد به سمت پایین) | ۰.۷۱۸ | ۰.۶۹۲ | ۰.۳۹۳ | -۰.۵۴۴ |
| Uas (سرعت باد سطحی در جهت شرق) | ۰.۶۹۴ | ۰.۶۶۴ | ۰.۲۶۸ | -۰.۲۳ |
| Pr (بارش) | -۰.۴۶ | -۰.۴۷۱ | -۰.۵۴۶ | ۰.۳۰۳ |
| Tas (دمای هوا نزدیک سطح زمین) | ۰.۶ | ۰.۵۶ | -۰.۰۲۸ | -۰.۴۱۷ |
| Tmax (دمای حداکثر) | ۰.۹۶۶ | ۰.۹۶۹ | ۰.۸۴۹ | -۰.۶۲۵ |
| Tmin (دمای حداقل) | ۰.۹۷ | ۰.۹۷۱ | ۰.۷۹۱ | -۰.۶۳۷ |
| Rdsd (تابش خورشیدی) | ۰.۸۲۶ | ۰.۸۴۲ | ۰.۹۶۳ | -۰.۵۱۸ |

جدول ۴- ضریب همبستگی بین مقادیر پیش‌بینی کننده‌ها، کمینه و بیشینه دمای ماهانه، تابش خورشیدی و بارش مشاهداتی برای مدل CanESM2

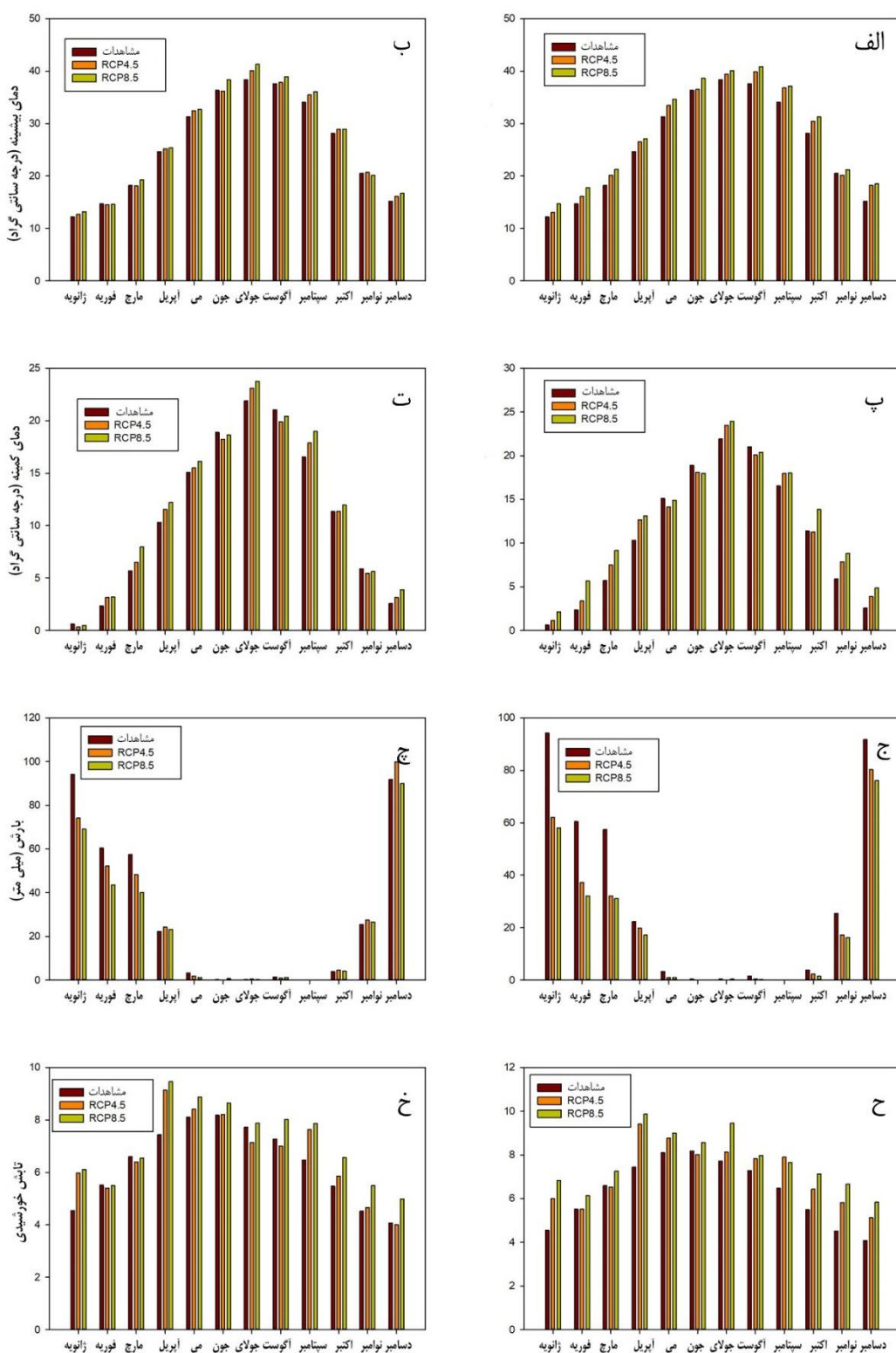
| پیش‌بینی کننده | تابش خورشیدی | بارش | دمای کمینه | دمای بیشینه | تابش خورشیدی | پارامتر |
|---|--------------|--------|------------|-------------|--------------|---------|
| Clt (درصد پوشش ابر همرفتی) | -0.483 | -0.485 | -0.212 | -0.212 | 0.162 | |
| Evespsbl (بخار آب) | -0.299 | -0.281 | -0.104 | -0.104 | 0.09 | |
| Hfls (شار گرمای نهان سطحی رو به بالا) | -0.298 | -0.28 | -0.102 | -0.102 | 0.089 | |
| Hur (رطوبت نسبی) | -0.643 | -0.663 | -0.785 | -0.785 | 0.338 | |
| Hurs (رطوبت نسبی نزدیک سطح) | -0.645 | -0.664 | -0.765 | -0.765 | 0.355 | |
| Prc (بارش همرفتی) | -0.092 | -0.09 | -0.131 | -0.131 | -0.016 | |
| Prsn (شار بارشیرف و بخار حاوی دوتربیوم) | -0.123 | -0.116 | -0.138 | -0.138 | 0.052 | |
| Prw (توude آب حاوی دوتربیوم) | 0.562 | 0.578 | 0.684 | 0.684 | -0.419 | |
| Psl (فشنار هوا در سطح دریا) | -0.041 | -0.034 | -0.029 | -0.029 | 0.057 | |
| Rlus (تابش موج بلند) | 0.745 | 0.776 | 0.919 | 0.919 | -0.433 | |
| Rsdscs (تابش موج کوتاه آسمان صاف) | 0.393 | 0.44 | 0.854 | 0.854 | -0.222 | |
| Rsut (تابش طول موج کوتاه) | 0.22 | 0.258 | 0.717 | 0.717 | -0.165 | |
| Ta (دمای هوا) | 0.429 | 0.45 | 0.521 | 0.521 | -0.229 | |
| Tas (دمای هوا نزدیک سطح زمین) | 0.428 | 0.451 | 0.535 | 0.535 | -0.227 | |
| Tauu (تنش باد سطحی در جهت جنوب شرقی) | -0.37 | -0.387 | -0.117 | -0.117 | 0.217 | |
| Tauv (تنش باد سطحی در جهت شمال) | -0.52 | -0.536 | -0.504 | -0.504 | 0.225 | |
| Ts (دمای سطح زمین) | 0.437 | 0.461 | 0.558 | 0.558 | -0.233 | |
| Vas (سرعت باد نصف النهارهای سطحی) | -0.496 | -0.484 | -0.452 | -0.452 | 0.333 | |
| Zg (ژیو پتانسیل) | -0.736 | -0.768 | -0.925 | -0.925 | 0.431 | |
| Pr (بارش) | -0.124 | -0.114 | 0.087 | 0.087 | 0.028 | |
| Tmax (دمای حداکثر) | 0.975 | 0.977 | 0.78 | 0.78 | -0.602 | |
| Tmin (دمای حداقل) | 0.973 | 0.977 | 0.792 | 0.792 | -0.602 | |
| Rsd (تابش خورشیدی) | 0.818 | 0.837 | 0.947 | 0.947 | -0.507 | |

و نیز برای کل ایران (Doulabian et al., 2021) است. در ارتباط با پارامتر تابش خورشیدی برای مدل HadGEM2CC در دوره ۲۰۲۶-۲۰۴۵ تحت سناریوهای RCP4.5 و RCP8.5 به ترتیب ۰/۳۵ و ۰/۷۱ کیلووات ساعت بر متر مربع در روز و در دوره ۲۰۴۵-۲۰۶۵ به ترتیب ۰/۶۶ و ۰/۱۷ کیلووات ساعت بر متر مربع در روز و برای مدل CanESM2 در دوره ۲۰۲۶-۲۰۴۵ تحت سناریوهای RCP4.5 و RCP8.5 به ترتیب ۰/۳۲ و ۰/۸۳ و در دوره ۲۰۴۵-۲۰۶۵ به ترتیب ۰/۷۹ و ۰/۳۶ کیلووات ساعت بر متر مربع در روز افزایش مشاهده می‌شود.

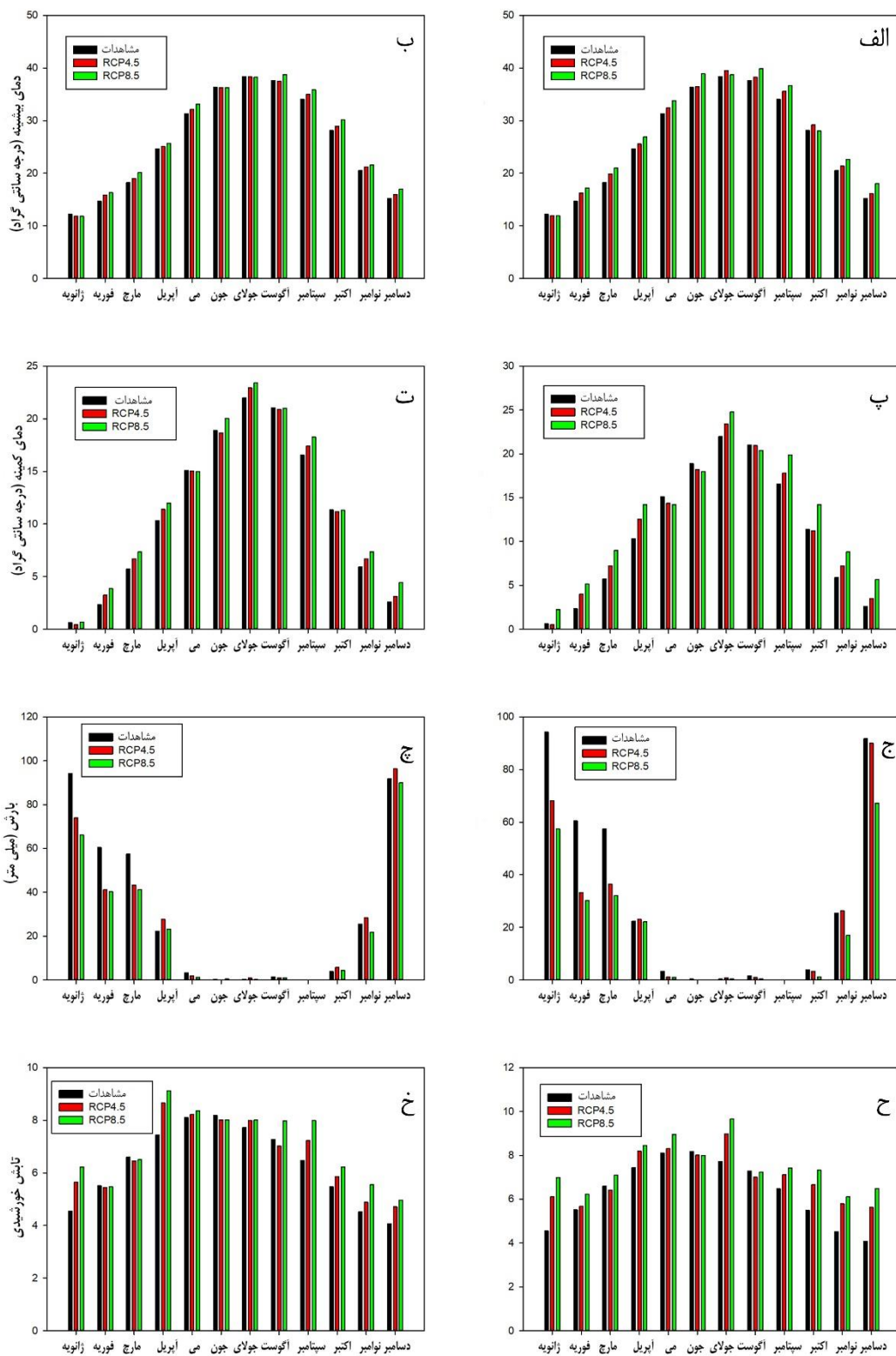
نتیجه‌گیری

در این مطالعه به بررسی تاثیر تغییراقلیم بر دمای کمینه و بیشینه، بارش و تابش خورشیدی در دوره آتی (۲۰۴۵-۲۰۶۵) و (۲۰۴۵-۲۰۲۶) بر شهر شیراز با استفاده از شبکه‌های مصنوعی به عنوان ابزار ریزمقیاس‌نمایی داده‌های مدل GCM استفاده شد. برای دوره آینده از (HadGEM2CC و CanESM2) دو مدل برتر (RCP4.5 و RCP8.5) تحت دو سناریوی اقلیمی RCP4.5 و RCP8.5 انتخاب شدند.

از نتایج مدل HadGEM2CC چنین دریافت می‌شود که دمای بیشینه در دوره ۲۰۴۵-۲۰۶۵ تحت سناریوهای RCP8.5 و RCP4.5 به ترتیب ۰/۴۸ و ۰/۱۲ درجه سلسیوس و در دوره آتی ۲۰۶۵-۲۰۴۶ به ترتیب ۰/۹۲ و ۰/۸۴ درجه سلسیوس افزایش و برای مدل CanESM2 در دوره ۲۰۴۵-۲۰۶۵ تحت سناریوهای RCP4.5 و RCP8.5 به ترتیب ۰/۶ و ۰/۱۹ درجه سلسیوس و در دوره ۲۰۶۵ به ترتیب ۰/۶۴ و ۰/۶۷ درجه سلسیوس افزایش پیدا می‌کند. همچنین پارامتر دمای کمینه مدل HadGEM2CC برای در دوره ۲۰۴۵-۲۰۶۵ تحت سناریوهای RCP8.5 و RCP4.5 به ترتیب ۰/۴۴ و ۰/۰۲ درجه سلسیوس و در دوره ۲۰۶۵-۲۰۴۶ به ترتیب ۰/۰۱ و ۰/۲ درجه سلسیوس افزایش و برای مدل CanESM2 در دوره ۲۰۴۵-۲۰۶۵ تحت سناریوهای RCP4.5 و RCP8.5 به ترتیب ۰/۳۲ و ۰/۹۲ درجه سلسیوس و در دوره ۲۰۶۵-۲۰۴۶ به ترتیب ۰/۷۷ و ۰/۷۱ درجه سلسیوس افزایش پیدا خواهد کرد. این نتیجه در توافق با نتایج مشابه در افزایش دمای آتی تحت اثر تغییراقلیم در مطالعه زرفشانی و همکاران (۱۴۰۰) برای شهر اصفهان، نی محمدی (۱۳۹۸) برای شهر تبریز، خیاط و همکاران (۱۳۹۹) برای دشت بیرجند



شکل ۳- مقادیر مدل CanESM2 برای دوره ۲۰۲۶-۲۰۴۵ (سمت راست) و دوره ۲۰۶۵-۲۰۸۵ (سمت چپ) برای پارامترهای دمای بیشینه (الف)، (ب)، دمای کمینه (پ، ت)، بارش (ج، ح) و تابش خورشیدی (خ، ز)



شكل ۴- مقداری پیش‌بینی مدل Hadgem2cc برای دوره ۲۰۴۵-۲۰۶۵ (سمت راست) و دوره ۲۰۲۶-۲۰۴۵ (سمت چپ) برای پارامترهای دمای بیشینه (الف، ب)، دمای کمینه (پ، ت)، بارش (ج، ز) و تابش خورشیدی (ح، خ)

خریمه نژاد، ح. صفوی گردینی، م. امیرآبادی زاده، م. و ناظری تهودی، م. ۱۴۰۱. ارزیابی مدل های داده محور مبتنی بر ریز مقیاس نمایی مقادیر دمای روزانه، نشریه علمی پژوهشی مهندسی آبیاری و آب ایران. ۲۹۱-۲۷۴.

خیاط، ا. امیرآبادی زاده، م. پورضا بیلنده، م. و خریمه نژاد، ح. ۱۳۹۹. بررسی پارامترهای دما و بارش تحت تأثیر تغییر اقلیم (مطالعه موردی: دشت بیргند). نشریه علمی پژوهشی مهندسی آبیاری و آب ایران. ۱۱(۱): ۲۰۰-۲۱۰.

رzaq زاده، ز. ۱۳۹۶. استفاده از روش های استخراج مشخصه برای بررسی تأثیر تغییر اقلیم بر پارامترهای هیدروکلیماتولوژی، پایان نامه کارشناسی ارشد رشته مهندسی عمران، گرایش: مدیریت منابع آب، دانشکده فنی-مهندسی عمران، دانشگاه تبریز.

زارعی، ح. کریمی، ن. و حبیبی، ف. ۱۳۹۸. بررسی علل وقوع سیلاب فروردین ۱۳۹۸ شهر شیراز، کنفرانس ملی سیلاب، ۹۸-۹۷، اگر تکرار شود. ۲۱ الی ۲۳ آبان، اهواز، گیت بوستان سازمان آب و برق خوزستان.

زرفشاری، آ. و جهانگیر، م. ۱۴۰۰. پیش‌بینی مقادیر دما و بارش استان اصفهان بر اساس دو مدل ریزمقیاس نمایی Lars-WG و SDSM و روش شبکه عصبی مصنوعی، نشریه آبیاری و زهکشی ایران. ۱۵(۱): ۳۸-۴۹.

شاهویی، س. فهیمی نژاد، ا. و فاتحی، ز. ۱۳۹۹. تأثیر تغییر اقلیم جهانی بر داده های اقلیمی در حوضه روانسر سنجابی استان کرمانشاه، فصلنامه محیط زیست و مهندسی آب. ۶(۱): ۴۵-۵۷.

شاهین رخسار، پ. علیزاده، ا. انصاری، ح. و قربانی، م. ۱۳۹۸. بررسی عدم قطعیت گروهی مدل های گردش عمومی جو در شبیه سازی داده های هواشناسی (مطالعه موردی ایستگاه سینوپتیک رشت)، نشریه آبیاری و زهکشی ایران. ۱۳(۶): ۱۸۹۷-۱۹۰۹.

عطایی، م. و فنایی، ر. ۱۳۹۲. بررسی روند تغییر سری های دمای شهر شیراز در ارتباط با برنامه ریزی توسعه شهری، مجله پژوهش و برنامه ریزی شهری. ۷۶-۵۷.

فاتحی، ز. و شاهویی، س. ۱۴۰۰. پیش‌بینی تأثیر تغییر اقلیم بر دمای حداقل و حداکثر شهر سندج، فصلنامه محیط زیست و مهندسی آب. ۷(۱): ۱۷۰-۱۸۲.

فلاح قالهری، غ. و خوشحال، ج. ۱۳۹۳. پیش‌بینی بارش بهاره استان خراسان رضوی بر اساس سیگنال های بزرگ مقیاس اقلیمی با استفاده از شبکه های عصبی مصنوعی، پژوهش های جغرافیای طبیعی. ۱۱۵-۱۳۳.

نتایج پیش‌بینی با استفاده از مدل HadGEM2CC نشان داد که بارش شیراز در دوره ۲۰۲۶-۲۰۴۵ تحت سناریوهای RCP4.5 و RCP8.5 به ترتیب ۱۱/۲۶ و ۱۹/۷۵ درصد کاهش می‌یابد، اما انتظار افزایش دمای بیشینه به ترتیب ۰/۴۸ و ۰/۱۲ سلسیوس، دمای حداقل به ترتیب ۰/۴۴ و ۰/۰۲ سلسیوس و تابش خورشیدی نیز ۰/۳۵ و ۰/۷۱ کیلووات ساعت بر مترمربع در روز را می‌توان داشت. نتایج به دست آمده برای دوره ۲۰۶۵-۲۰۴۶ در توافق با دو دوره قبلی برای بارش به ترتیب ۰/۴۵ و ۰/۱۲ درصد کاهش، برای دمای بیشینه به ترتیب ۰/۹۲ و ۰/۸۴ سلسیوس، برای دمای کمینه به ترتیب ۰/۷۷ و ۰/۲۰ سلسیوس و برای تابش خورشیدی ۰/۶۶ و ۰/۱۷ کیلووات ساعت بر مترمربع در روز افزایش را نشان دادند. همچنین نتایج بارش آینده از مدل CanESM2 در دوره ۲۰۴۵-۲۰۲۶ تحت سناریوهای ۰/۴۵-۰/۴۶ و RCP8.5 به ترتیب ۰/۷۷ و ۰/۱۶ سلسیوس و در دوره ۰/۴۶-۰/۴۵ به ترتیب ۰/۱۶ و ۰/۳۵ درصد کاهش، و برای دمای بیشینه ۰/۱۲ و ۰/۱۱ به ترتیب ۰/۴۸ و ۰/۱۷ کیلووات ساعت بر مترمربع در روز افزایش را نشان دادند. همچنین نتایج بارش آینده از مدل ۰/۴۵-۰/۴۶ در دوره ۰/۴۶-۰/۴۵ به ترتیب ۰/۷۷ و ۰/۱۶ سلسیوس و برای دمای کمینه به ترتیب ۰/۷۷ و ۰/۱۷ کیلووات ساعت بر مترمربع در روز افزایش ۰/۷۹ و ۰/۱۳۶ کیلووات ساعت بر مترمربع در روز افزایش پیش‌بینی می‌شود. نتایج این تحقیق به منظور بررسی و پایش کمی منابع آب در منطقه شهرستان شیراز در آینده و برنامه‌ریزی های منابع آب این شهرستان مهم می‌تواند حائز اهمیت باشد. اگرچه برای تدقیق نتایج بدست آمده در این مطالعه پیشنهاد می‌شود از انواع دیگر ساختارهای هوش مصنوعی در ریزمقیاس نمایی مدل های دیگر و به روز GCM و تلفیقی از آنها با یکدیگر در آینده مورد توجه قرار گیرد.

تشکر و قدردانی

بدین وسیله از حمایت مالی معاونت پژوهش و فناوری دانشگاه شهید چمران اهواز در قالب پژوهانه (SCU.WH1400.44131) در انجام این تحقیق تشکر و قدردانی می‌گردد.

منابع

احمدی، ف. و مداد، م. ۱۴۰۰. توسعه روش هیبریدی موجک-Kstar برای پیش‌بینی بارش های ماهانه (مطالعه موردی: ایستگاه سینوپتیک اهواز)، مجله تحقیقات آب و خاک ایران. ۵۲(۲): ۴۰۹-۴۲۰.

- study): Lar dam basin. *Ain Shams Engineering Journal*, 12(1):445-454.
- Kavwenje, S., Zhao, L., Chen, L. and Chaima, E. 2022. Projected temperature and precipitation changes using the LARS-WG statistical downscaling model in the Shire River Basin, Malawi. *International Journal of Climatology*, 42(1):400-415.
- Levin, Z., and Cotton, W. R. (Eds.). 2008. Aerosol pollution impact on precipitation: a scientific review.
- Libanda, B. and Nkolola, N. B. 2019. Skill of CMIP5 models in simulating rainfall over Malawi. *Modeling Earth Systems and Environment*. 5(4):1615-1626.
- Mohammed, Z. M. and Hassan, W. H. 2022. Climate change and the projection of future temperature and precipitation in southern Iraq using a LARS-WG model. *Modeling Earth Systems and Environment*, 1-14.
- Nilawar, A. P. and Waikar, M. L. 2019. Impacts of climate change on streamflow and sediment concentration under RCP 4.5 and 8.5: A case study in Purna river basin, India. *Science of the total environment*. 650: 2685-2696.
- Nourani, V., Alami, M. T. and Aminfar, M. H. 2009. A combined neural-wavelet model for prediction of Ligvanchai watershed precipitation. *Engineering Applications of Artificial Intelligence*. 22(3): 466-472.
- Ostad-Ali-Askari, K., Ghorbanizadeh Kharazi, H., Shayannejad, M. and Zareian, M. J. 2020. Effect of climate change on precipitation patterns in an arid region using GCM models: case study of Isfahan-Borkhar Plain. *Natural Hazards Review*. 21(2): 04020006.
- Rakhimova, M., Liu, T., Bissenbayeva, S., Mukanov, Y., Gafforov, K. S., Bekpergenova, Z. and Gulakhmadov, A. 2020. Assessment of the impacts of climate change and human activities on runoff using climate elasticity method and general circulation model (GCM) in the Buqtyrma river Basin, Kazakhstan. *Sustainability*. 12(12):4968.
- Reboita, M. S., Kuki, C. A. C., Marrafon, V. H., de Souza, C. A., Ferreira, G. W. S., Teodoro, T. and Lima, J. W. M. 2022. South America climate change revealed through climate indices projected by GCMs and Eta-RCM ensembles. *Climate Dynamics*. 58(1):459-485.
- Zhu, B., Xue, L., Wei, G., Zhang, L. and Chen, X. 2019. CMIP5 projected changes in temperature and precipitation in arid and humid basins. *Theoretical and Applied Climatology*. 136(3):1133-1144.
- محمدی، ن. ۱۳۹۸. چشم انداز تغییرات دماهای بیشینه تبریز تا پایان قرن ۲۱ با استفاده از مدل LARS-WG تحت خروجی مدل‌های مختلف GCM، ششمین کنفرانس منطقه‌ای تغییر اقلیم. تهران، ۱۰۰۲۶۹۲.
- نادری، س. علیجانی، ب. حجازی زاده، ز. عباسپور، ک. و حیدری، ح. ۱۳۹۸ آنالیز الگوهای دما و بارش در آینده با استفاده از CCT (مطالعه موردی: حوضه آبخیز دریاچه ارومیه)، همایش بین المللی تغییر اقلیم، پیامدها، سازگاری و تدبیل، تهران.
- یوسفی، ح. پیربازاری، س. مریدی، ع. خواجه پور، ح. کرباسی، ۵. و فتحی، ت. ۱۴۰۰. بررسی تغییرات دمای ایران در اثر تغییر اقلیم، نشریه علمی مدیریت آب و آبیاری. ۲۴۸-۲۳۷(۲):۱۱.
- Ansari, H., Khadivi, M., Salehnia, N. and Babaeian, I., 2015. Evaluation of Uncertainty LARS Model under Scenarios A1B, A2 and B1 in Precipitation and Temperature Forecast (Case Study: Mashhad Synoptic Stations), *Iranian Journal of Irrigation and Drainage*. 4(8):664-672.
- Ashour, A. G., Mirou, S. M., Hassan, R. N., Zeiada, W., Abuzwidah, M. and Shanableh, A. 2022. Assessment of Potential Temperature Increases in the UAE due to Future Global Warming. In 2022 Advances in Science and Engineering Technology International Conferences (ASET). 1-6. IEEE.
- Babel, M. S., Sirisena, T. A. J. G. and Singhrautna, N. 2017. Incorporating large-scale atmospheric variables in long-term seasonal rainfall forecasting using artificial neural networks: an application to the Ping Basin in Thailand. *Hydrology Research*, 48(3):867-882.
- Chim, K., Tunnicliffe, J., Shamseldin, A. and Chan, K. 2021. Identifying future climate change and drought detection using CanESM2 in the upper Siem Reap River, Cambodia. *Dynamics of Atmospheres and Oceans*. 94: 101182.
- Doulabian, S., Golian, S., Toosi, A. S., and Murphy, C. 2021. Evaluating the effects of climate change on precipitation and temperature for Iran using RCP scenarios. *Journal of Water and Climate Change*, 12(1):166-184.
- Golkar Hamzee Yazd, HR., Salehnia, N., Kolsoumi, S. and Hoogenboom, G., 2019. Prediction of climate variables by comparing the k-nearest neighbor method and MIROC5 outputs in an arid environment, *Clim Res* 77:99-114.
- IPCC. 2018. Global warming of 1.5°C. <https://www.ipcc.ch/sr15/> (accessed 26 October 2020).
- Javaherian, MR., Ebeahimi, H. and Amininezhad, B. 2021. Prediction of changes in climatic parameters using CanESM2 model based on Rcp scenarios (case

Forecasting the impact of Climate Change on the Meteorological Parameters Using GCMs Output with the Help of Artificial Neural Network (Case Study: Shiraz Synoptic Station)

N. Rahimi¹, M. Amin Maddah^{2*}, A. M. Akhoond-Ali³

Received: Aug.10, 2022

Accepted: Sep.18, 2022

Abstract:

With the development of technology and the industrialization of human societies, the increase of greenhouse gases, the occurrence of climate changes on the surface of the earth and its harmful effects (floods and droughts) on human life ,and resources have been confirmed. There, obtaining information about the possible effect of climate change on meteorological parameters is of particular importance and necessity. In this study, an attempt was made to determine the potential effect of climate change on the meteorological parameters of Shiraz the synoptic station in a comprehensive way by using the evaluation of General Circulation Models (12 models) and downscaling of their output (with the help of Multilayer Perceptron Neural Network method). The evaluation results (based on MSE, RMSE and R) in the base period (1986-2005) proved the superiority of the CanESM2 and HadGEM2CC models. As a result, under the two RCP4.5 and RCP8.5 scenarios, HadGEM2CC outcomes during 2045-2026 and 2046-2065 showed a decrease in precipitation (11-19 and 21-36%, respectively). Also, it depicted an increase in minimum temperature (0.4-1 and 0.7-2°C), increase in maximum temperature (0.5-1 and 0.9-1.8°C), and increase in solar radiation (0.35-0.7 and 0.6-1.1 kWh per m² per day). The HadGEM2CC showed a decrease in precipitation (7-16 and 16-35 %, respectively), an increase in minimum temperature (0.3-0.9 and 0.7-1.7°C), in maximum temperature (0.4-1.1 and 0.9-1.8°C) and in solar radiation (0.3-0.8 and 0.8-1.3 kWh per m² per day).

Keywords: CanESM2, Climate of Shiraz, Downscaling, Hadgem2cc, Perceptron

1- M.Sc. Student, Department of Hydrology and Water Resources, Faculty of Water and Environmental Engineering, Shahid Chamran University of Ahvaz, Ahvaz, Iran

2- Assistant Professor, Department of Hydrology and Water Resources, Faculty of Water and Environmental Engineering, Shahid Chamran University of Ahvaz, Ahvaz, Iran

3- Professor, Department of Hydrology and Water Resources, Faculty of Water and Environmental Engineering, Shahid Chamran University of Ahvaz, Ahvaz, Iran

(*- Corresponding Author: Ma.maddah@scu.ac.ir)